

Рассматривается работа лабораторных низкочастотных генераторов гармонических колебаний НС-типа, на базе которых, LC-типа и инфразвуковых колебаний. Анализируются источники погрешностей выходных параметров лабораторных измерительных генераторов. Рассматривается блок-схема приборов.

ВВЕДЕНИЕ

При радиотехнических измерениях в различных диапазонах частот широко используются измерительные генераторы сигналов. Они помогают провести испытания, исследования, измерения режимов различных радиотехнических устройств в системах как в процессе их производства, так и в процессе эксплуатации и ремонта.

Измерительный генератор слагается представляет собой окраинированный источник радиотехнических сигналов, параметры которых - частота, напряжение (мощность) и форма - заранее известны с определенной точностью.

По ГОСТ 15094-69 принятая классификация измерительных генераторов сигналов:

Г3 - генераторы сигналов низкочастотные, к которым относятся источники гармонических немодулированных или модулированных сигналов инфразвуковых, звуковых и ультразвуковых частот (до 200 кГц);

Г4 - генераторы сигналов высокочастотные, к которым относятся источники гармонических немодулированных или модулированных сигналов звуковых и сверхзвуковых частот;

Г5 - генераторы импульсов - источники одиночных или периодических импульсов прямоугольной формы;

Г6 - генераторы сигналов специальной формы (отличной от прямоугольной: треугольной, пилообразной и т.д.);

Г8 - генераторы качающейся частоты (смы-генераторы) - источники гармонических сигналов, частота которых автоматически изменяется в пределах установленной полосы частот.

В настоящей работе рассматривается только низкочастотные измерительные генераторы, т.е. генераторы типа Г3, являющиеся источниками синусоидальных сигналов низкой частоты. Само название "измерительный генератор низких частот" означает, что у данного генератора обязательно имеется диапазон частот от 20 Гц до 20 кГц, т.е. звуковой диапазон. Но весь частотный диапазон низкочастотного измерительного генератора может быть гораздо шире. Если частотный диапазон начинается с сотых и тысячных долей герца, то измерительный

© Московский авиационный институт, 1981 г.

621.317(075)

М 608

генератор называют **найфразочастотным**. В случае, если диапазон частот достигает сотен килогерц, то измерительный генератор называют генератором звуковых и ультразвуковых частот. Если же частотный диапазон включает частоты до 10 МГц, то его называют генератором **широкочастотным**.

Выходной сигнал измерительного широкочастотного генератора известен по своим основным параметрам: по частоте, амплитуде и показанию формы гармонического сигнала с определенной, заранее заданной точностью.

ГОСТ ИСО 901-74 подразделяет измерительные генераторы на классы точности по частотным параметрам (*F*-параметрам) и по параметрам выходного напряжения (*U*-параметрам). За видоко класса точности принимается значение основной погрешности установки частоты и опорного уровня выходного напряжения, выраженной в процентах. Установлено шесть классов по точности отсчета частоты: $F_{0,1}$, $F_{0,5}$, F_1 , $F_{4,5}$, F_2 и F_5 и пять классов по точности отсчета уровня выходного сигнала: U_1 , U_2 , $U_{2,5}$, U_4 и U_6 . Например, обозначение класса точности $F_1 U_{2,5}$ показывает, что измерительный генератор имеет основную погрешность установки частоты 1% и основную погрешность установки опорного уровня выходного напряжения 2,5%.

Искажение гармонического сигнала характеризуется коэффициентом гармоник. Выпускаемые измерительные генераторы имеют коэффициенты 0,3; 0,5 в 1%, а особо высокочастотные – 0,05...0,015%. Упомянутый ГОСТ ИСО 901-74 устанавливает величины остальных параметров измерительного генератора: нестабильность частоты, коэффициент гармоник, погрешность селечения аттенюатора, дополнительные погрешности частоты и амплитуды. Данный ГОСТ разрешает выпуск измерительных генераторов с более высокими классами точности (по *F*-параметрам и по *U*-параметрам).

Пределы регулировки параметров выходного сигнала определяют эксплуатационные возможности измерительного генератора. Основной эксплуатационной характеристикой измерительного генератора является диапазон измеряемых им частот. В этом частотном диапазоне выходной сигнал измерительного генератора соответствует всем нормам по точности для данного прибора. Если существует сигнал за пределами этого частотного диапазона, то он не является эталонным и для него нужна дополнительная калибровка. Частота измерительных генераторов, как правило, регулируется двумя ступенями: ступенчато и плавко. Часть частотного диапазона измерительного генератора

в котором частота сигнала устанавливается плавно, называется поддиапазоном. Некоторое перекрытие концов поддиапазонов обеспечивает непрерывность регулировки во всем диапазоне.

Другой основной эксплуатационной характеристикой является диапазон выходных напряжений. Регулировка величины выходного сигнала производится также двумя путями: изменением величины напряжения на входе усилителя в линии или ступенчатым аттенюатором в пределах до 100...110 дБ. Погрешность установленного уровня выходного напряжения определяется погрешностью электронного вольтметра в аттенюаторе.

Величина выходного сопротивления $R_{\text{вы}}$ измерительного генератора также является основной эксплуатационной характеристикой прибора. В измерительных генераторах низкой частоты устанавливается разное значение выходного сопротивления в зависимости от сопротивления нагрузки, подключаемых к выходу генератора. Распространенные значения $R_{\text{вы}}$ являются 6, 60, 600, 6000 Ом; наиболее часто используется значение 600 Ом.

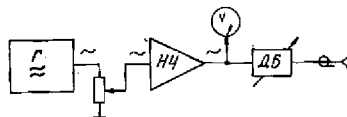


Рис. I.1

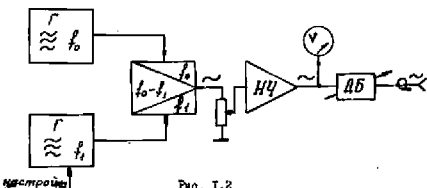


Рис. I.2

Измерительные генераторы низких частот строят по схеме прямого генерирования выходной частоты (рис. I.1) или по принципу бистабильного (рис. I.2), где выходная частота является разностью частот двух высокочастотных генераторов.

I. ИЗМЕРИТЕЛЬНЫЕ RC-ГЕНЕРАТОРЫ

В настоящее время наиболее распространенным типом измерительных высокочастотных генераторов гармонических сигналов в звуковом и ультразвуковом диапазоне частот являются RC-генераторы благодаря простоте схемы и высоким качественным показателям.

Измерительные RC-генераторы выполнены по типовой скелетной схеме (рис. I.1) и содержит задающий генератор, выходной усилитель, электронный вольтметр, аттенюатором и блок питания.

Рассмотрение измерительного RC-генератора начнем с задающего генератора.

I.1. Задающий RC-генератор

Задающий генератор образована соединением резистивно-емкостного усилителя (лампового или транзistorного) с цепью обратной связи, представляющей собой пасьянсный четырехполюсник, состоящий из резисторов и емкостей.

Усилитель обладает постоянным коэффициентом усиления K_u и равномерной амплитудно-частотной характеристикой в широком диапазоне частот, а цепь обратной связи является частотно-независимой.

Цепи определенных условиях в данной системе могут возникнуть и устанавливаться колебания, очень близкие по форме к гармоническим со стабильной амплитудой и частотой.

Схемы задающих RC-генераторов весьма разнообразны, но наименее широкое распространение получила схема RC-генератора, образованная двухкаскадным резистивно-емкостным усилителем и цепью обратной связи, представляющей собой мост Вина (рис. I.3). В мосте Вина левая ветвь, образованная сопротивлениями \hat{Z}_1 и \hat{Z}_2 , является частотно-зависимой и представляет собой цепь положительной обратной связи (ПОС). Правая ветвь моста Вина, образованная резисторами R_3 и R_4 , является частотно-независимой и представляет собой цепь отрицательной обратной связи (ООС).

Для нахождения частоты генерации в амплитудах колебаний в стационарном режиме рассмотрим уравнение гармонического баланса [1]

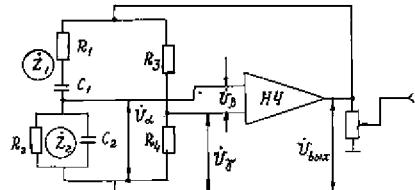


Рис. I.3

$$K_u \beta > 1 \quad (I.1)$$

$$K_u \beta e^{j(\varphi_k + \varphi_p)} > 1,$$

где K_u и φ_k — модуль и аргумент коэффициента усиления; β и φ_p — модуль и аргумент коэффициента передачи цепи обратной связи.

Здесь условие $K_u \beta > 1$ означает условие возбуждения в гармонике колебаний, а условие равенства означает стационарный режим. Для стационарного режима уравнение гармонического баланса может разбить на два:

условие баланса амплитуд

$$K_u \beta = 1; \quad (I.2)$$

условие баланса фаз

$$\varphi_k + \varphi_p = 2\pi n \quad (n = 0, 1, 2, \dots). \quad (I.3)$$

Величины в системе гармонический баланс выполняются только на одной частоте, то в этой системе существуют гармонические колебания.

Покажем, что уравнение баланса фаз для данной схемы справедливо только для одной частоты. Сначала рассмотрим величину (фазового сдвига, создаваемую усилителем). В двухкаскадном усилителе на транзисторах, обладающем равномерной АЧХ во всем рабочем диапазоне RC-генератора, этот фазовый сдвиг будет равен $2\pi/2$ крат к коэффициент усиления является вещественной величиной. Абсолютно никаких АЧХ, или коэффициент усиления начинает заметно изменяться, величина φ , будет отличаться от $2\pi/2$. Поэтому в рабочем диапазоне имеет место

коэффициент обратной связи β также должен являться вещественной величиной и $\beta = 2\pi(\mu - 1)$; при $\mu = 1$ $\beta = 0$. Коэффициент обратной связи β определяется как разность коэффициентов цепей ПОС и ООС:

$$\beta = \alpha - \gamma, \quad (I.4)$$

где

$$\alpha = \frac{Z_2}{Z_1 + Z_2} - \text{коэффициент передачи цепи ПОС}; \quad (I.5)$$

$$\gamma = \frac{R_2}{R_1 + R_2} - \text{коэффициент передачи цепи ООС}. \quad (I.6)$$

Так как величина γ является вещественной величиной, то определим условия, при которых величина α станет также вещественной:

$$\alpha = \alpha \cdot e^{j\varphi_a} = \frac{Z_2}{Z_1 + Z_2} = \frac{1}{1 + \frac{R_1}{Z_2} e^{j\varphi_a}} = \frac{1}{1 + \frac{R_1}{R_2} + j\left(\frac{1}{Z_2} + \omega C_2\right)} = \frac{1}{1 + \frac{R_1}{R_2} + j\left(\omega R_1 C_2 - \frac{1}{\omega R_2 C_2}\right)}. \quad (I.7)$$

Очевидно, что величина α станет вещественной, когда мнимая часть знаменателя в правой части обратится в нуль. Это условие выполняется только на одной частоте

$$\omega_0 = \frac{1}{\sqrt{R_1 R_2 C_1 C_2}}. \quad (I.8)$$

Из (I.7) и (I.8) следует, что баланс фаз в задающем LC -генераторе выполняется только на частоте ω_0 , которая и будет частотой гармонических колебаний задающего LC -генератора. Так как условие фазового баланса выполняется на частоте ω_0 , определенной напряжением цепи ПОС, то эта цель получила название фазирующей цепи.

Очевидно, что изменения величин элементов, образующих цепь ПОС, можно изменять частоту гармонических колебаний (подробнее об этом смотри ниже).

Теперь рассмотрим уравнение баланса амплитуд (I.2) на частоте ω_0 :

$$K_0 \beta_0 = K_0 (\alpha_0 - \gamma) > 1, \quad (I.9)$$

где $\alpha_0 = \frac{1}{1 + (R_1/R_2) + (C_1/C_2)} = \frac{1}{1 + m + n}$ – величина коэффициента ПОС на частоте ω_0 и следующие обозначения: $\frac{R_1}{R_2} = m$, $\frac{C_1}{C_2} = n$; члено $m+n=1$, в тогда $\alpha_0 = \frac{1}{3}$. При включении источника постоянного тока в задающий генераторе происходит процесс возбуждения LC -генератора из состояния колебаний, который затем переходит в стационарный режим – режим с постоянной амплитудой колебаний, при

этом неравенство $K_0 \beta_0 > 1$ переходит в равенство $K_0 \beta_0 = 1$. Из этого следует,

что при нарастании амплитуды колебаний должны изменяться величины (или одна из них), входящие в условие неравенства ($K_0 \beta_0 > 1$). А это означает, что в рассматриваемом автогенераторе, как и в любом другом автогенераторе, в принципе необходим нелинейный элемент, с помощью которого можно ограничивать нарастание амплитуды.

Так как цепь ПОС выполняется из линейных элементов, емкостей C_1 и C_2 и резисторов R_1 и R_2 , то величина α_0 не зависит от амплитуды генерируемого напряжения.

В LC -генераторе функция нелинейного элемента выполняет активный элемент (лампа или транзистор), который при увеличении амплитуды генерации переходит в нелинейный режим, как правило, в режим с отсечкой тока активного элемента. При этом происходит уменьшение коэффициента усиления в схеме автогенератора и дальнейший рост амплитуды колебаний прекращается. Но форма тока через лампу или транзистор имеет вид координатного кимографа и далека от гармонической, т.е. является сильно искаженной. Но форма выходного напряжения LC -генератора весьма близка к гармонической, так как резонансный контур в таких генераторах имеет высокую добротность ($Q \gg 1$) и поэтому обладает высокой фильтрующей способностью, разрез ослабляя напряжение высших гармоник на выходе генератора.

В RC -генераторах путем использования нелинейного режима в усилителе для целей ограничения амплитуды генерации опереженно не применяют. Это связано с тем, что фильтрующие действительные цепи ПОС весьма мало и возникновение на выходе усилителя высшие гармонические составляющие невозможно отфильтровать. При этом сигнал на выходе такого генератора будет характеризоваться большими нелинейными искажениями, и его форма будет сильно отличаться от гармонической, что недопустимо для измерительных генераторов. Поэтому в задающих RC -генераторах обеспечивают работу усилителя в сугубо линейном режиме, который определяется очень малыми искажениями.

Возвращаясь к неравенству (I.9), видим, что функция нелинейного элемента в RC -генераторе должна выполнять роль ООС, т.е. нелинейной величиной должен быть коэффициент γ , но при этом цепь ООС, будучи нелинейной, не должна вносить нелинейных искажений в выходной сигнал генератора.

Этим противоречивым требованиям удовлетворяет цепь ООС, включенная в себя терморезистор: термистор или баристор. Термистор

представляет собой нелинейный резистор с отрицательным температурным коэффициентом сопротивления (ТКС), а барретор – нелинейный резистор с положительным ТКС (например, медно-никелевая лампочка накаливания с достаточно большим начальным сопротивлением). В разных моделях RC -генераторов используются барреторы – лампочки накаливания, в последних моделях чаще используют термисторы.

Терморезистор в RC -генераторе действует как инерционное нелинейное сопротивление. Сопротивление терморезистора определяется его температурой нагрева, устанавливающейся в процессе теплового обмена между терморезистором, по которому протекает ток подогрева, и окружающей средой. Скорость этих процессов определяется постоянной времени $T_{\text{тер}}$, которая для используемых терморезисторов составляет несколько секунд. Поэтому при нагреве терморезистора первоначальным током звуковой частоты (от 20 Гц и выше) температура его за один период не может заметно измениться и остается практически постоянной. При этом постоянным в течение периода остается и сопротивление терморезистора. Если же более длительное, чем один период времени, температура терморезистора увеличивается, то это приводит к изменению его сопротивления.

Таким образом, для быстропрерывных процессов – для колебаний звуковой и ультразвуковых частот – терморезистор является линейным сопротивлением, а его нелинейные свойства начинают проявляться при медленных процессах, например при нарастании или затухании амплитуды генерации, а также уже начинают проявляться на самых высоких частотах звукового диапазона. Переход от режима возбуждения к нарастанию амплитуды колебаний к стационарному режиму характеризуется уменьшением коэффициента обратной связи $\beta_0 = \omega_0 - \gamma$ за счет увеличения коэффициента γ .

Так как $\gamma = \frac{R_1}{R_1 + R_2}$, то барретор, обладающий положительным ТКС, необходимо включить вместо резистора R_2 , а на место R_3 нужно включить обычный резистор. Если же используется термистор – терморезистор

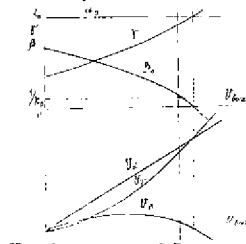


Рис. I.4

с отрицательным ТКС, то его нужно включить на место R_3 , а на место R_4 – обычный резистор.

На рис. I.4 показаны характеристики зависимости коэффициентов α_0 , β_0 и напряжений U_R , U_f и U_g от выходного напряжения генератора. С помощью этих графиков из условия $\beta_0 = \frac{\gamma}{K_0}$ определяется величина выходного напряжения генератора и все остальные величины для стационарного режима.

Следует отметить, что термистор в холодном состоянии имеет весьма большое сопротивление K_0 – несколько сотен килоом, что во много раз больше сопротивления резистора R_4 . Поэтому в начальный период возбуждения коэффициент ООС γ очень мал, и это облегчает возбуждение колебаний и обеспечивает высокую скорость их нарастания.

I.2. О регулировке частоты генератора

Плавную регулировку частоты генерации, т.е. частоты ω_0 , можно обеспечить плавным изменением параметров цепи ПОС. Но если изменять только один параметр цепи ПОС, то это приведет к изменению величины α_0 , так как

$$\alpha_0 = \frac{1}{1 + m + n} = \frac{1}{1 + \frac{R_1}{R_2} + \frac{C_1}{C_2}} \quad (I.10)$$

Изменение коэффициента α_0 приведет к изменению величины γ (при постоянной величине $\beta_0 = \frac{1}{K_0}$) и, как следствие, к изменению баланса амплитуд и изменению амплитуды генерации. Но появление зависимости выходного напряжения генератора от частоты очень желательно.

А это означает, что при изменении частоты ω_0 нужно одновременно и одинаково изменять величины резисторов R_1 и R_2 , обеспечивая $m = \text{const}$, или емкостей C_1 и C_2 , обеспечивая $n = \text{const}$. На рис. I.5 изображены два варианта обеспечения плавной регулировки частоты. Пунктирная линия означает, что оба регулируемых элемента изменяются одновременно и одинаково. В первом варианте плавного изменения частоты используется двойной блок переменных конденсаторов, а во втором – двойной блок переменных резисторов.

В дальнейшем ограничимся условием, часто используемым на практике: $R_1 = R_2 = R$, т.е. $m = 1$, и $C_1 = C_2 = C$, т.е. $n = 1$. В этом случае

$$\gamma = \frac{1}{2\pi RC} \quad (I.11)$$

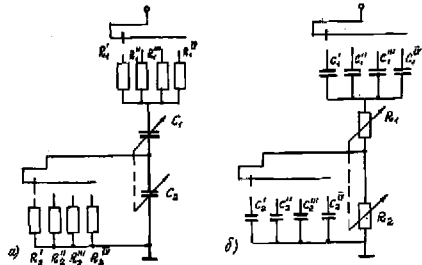


Рис. I.5

При использовании блока переменных конденсаторов с максимальной ёмкостью $C_{\max} \approx 1000 \text{ пФ}$ и $C_{\min} \approx 30 \text{ пФ}$ следует учесть, что в схеме генератора к нему добавляются распределенные ёмкости монтажа, входные ёмкости усилителя и т.д. С целью стабилизации влияния паразитных ёмкостей и обеспечения необходимого коэффициента перекрытия по ёмкости параллельно C_1 и C_2 ставят подстроичные (полупараллельные) конденсаторы C_{o1} и C_{o2} , окончательные величины которых подбираются в процессе настройки генератора (рис. I.6).

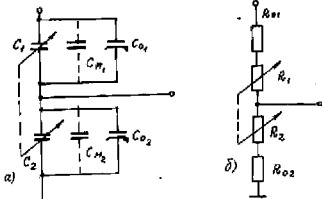


Рис. I.6

Очевидно, при $C_1 = C_2$ нужно обеспечивать $C_{m1} + C_{o1} = C_{m2} + C_{o2} = C_o$.

Коэффициент перекрытия по ёмкости N :

$$\frac{C_{\max} + C_o}{C_{\min} + C_o} = N,$$

откуда можно определить величину C_o :

$$C_o = \frac{C_{\max} - NC_{\min}}{N-1}.$$

В нашем случае, когда $C_{\max} = 1000 \text{ пФ}$; $C_{\min} = 28 \text{ пФ}$; $N = 10$ и $C_o = 80 \text{ пФ}$.

Так как величина $C_{1,2} + C_o$ изменяется в 10 раз, то во столько же раз изменяется частота генератора. А это означает, что для перекрытия диапазона низких (звуковых) и ультразвуковых частот в пределах от 20 Гц до 200 кГц нужно иметь четыре поддиапазона частот:

I поддиапазон: 20...200 Гц; множитель частоты "Х1";

II поддиапазон: 200 Гц...2 кГц; множитель частоты "Х10";

III поддиапазон: 2...20 кГц; множитель частоты "Х100";

IV поддиапазон: 20...200 кГц; множитель частоты "Х1000".

Переход с одного поддиапазона частот на другой достигается десятикратным изменением величины резисторов R_1 и R_2 каждый раз.

Так как цена деления шкалы генератора по частоте при переходе с поддиапазона на поддиапазон изменяется тоже в десять раз, то генератор снабжается только одной градуированной шкалой по частоте, а окончательный результат находится в результате умножения отсчета по шкале частот на "множитель частоты" для соответствующего поддиапазона.

Оценим величины сопротивлений R_1 и R_2 на различных поддиапазонах частот. Так, на первом поддиапазоне (от 20 до 200 Гц)

$$R_{1,2} = \frac{1}{2\pi f_{\min} (C_{\max} + C_o)} = \frac{1}{6,28 \cdot 20 (1000 + 80) \cdot 10^{-12}} = 7,37 \cdot 10^6 \Omega = 7,37 \text{ МОм}.$$

На втором диапазоне частот эта величина уменьшается в 10 раз и составляет 737 кОм; на третьем поддиапазоне – 73,7 кОм, а на четвертом – 7,37 кОм.

Эти цифры показывают, что усилитель, который подключается к шине БИА и который должен иметь входное сопротивление гораздо больше величины $R_{1,2}$ (хотя бы на два порядка, т.е. в 100 раз), должен обладать $R_{in} \approx 10^6 \Omega$. До последнего времени эта задача решалась применением ламповых усилителей.

В малогабаритных квадратных RC -генераторах в настоящее время используется второй вариант – обеспечение плавной регулировки частоты генерации с помощью блока переменных резисторов. Для повышения стабильности работы таких резисторов и обеспечения надежного контакта ползунков эти резисторы выполняют проволочными со специальным профилем намотки (для обеспечения определенного закона градуировки шкалы по частоте). Эти проволочные потенциометры, включаемые реостатами, выполняются из максимального сопротивления порядка 10...20 к Ω . А так как минимальное сопротивление в них устанавливается практически нулевое, то для обеспечения необходимо го перекрытия по частоте на поддиапазоне (например, $N = \frac{f_{\text{макс}}}{f_{\text{мин}}} = 10$) необходимо обязательно сюда включить добавочное сопротивление, выбираемое из расчета

$$\frac{R_{1,2 \text{ макс}} + R_{\text{доп}}}{R_{\text{доп}}} = N,$$

откуда

$$R_{\text{доп}} = \frac{R_{1,2 \text{ макс}}}{N-1}.$$

Если $R_{1,2 \text{ макс}} = 16,5$ к Ω , а $N = 10$, то $R_{\text{доп}} = 1,83$ к Ω .

Таким образом, величина активного сопротивления в цепи ПОС $R_{1,2}$ изменяется в пределах от 1,83 до 18,33 к Ω . Поэтому исходное сопротивление усилителя после такой цепи ПОС должно оставаться не сколько истребом, что уже может быть обеспечено в схемах транзисторных усилителей.

Неключение поддиапазонов частот в этом варианте происходит из-за изменения величины постоянных конденсаторов C_1 и C_2 .

На первом поддиапазоне

$$C_1 = \frac{1}{2\pi f_{\text{мин}} (R_{1,2 \text{ макс}} + R_{\text{доп}})} = \frac{1}{6,28 \cdot 20 \cdot 18,35 \cdot 10^3} = 4,34 \cdot 10^{-7} \Phi = 0,434 \text{ мкФ},$$

на втором поддиапазоне $C_{1,2} = 0,0434$ мк $\Phi = 43,400$ пФ; на третьем – 4340 п Φ , а на четвертом – 434 п Φ .

Следует отметить, что при использовании проволочных потенциометров точность установки частоты ухудшается, так как регулировка становится не линейной, в дискретной – ползунок переходит с шагом за шагом намотки, обеспечивающая ступенчатое изменение сопротивления. К тому же на высоких частотах начинает оказываться индуктивность намотки проволочного потенциометра, что приводит к нарушению фазового баланса.

I.3. О стабильности частоты генерации

Было показано, что из уравнения фазового баланса $\varphi_A + \varphi_B = 2\pi n$ при работе усилителя заданного RC -генератора на средних частотах, где $\varphi_n = 2\pi$, частота генерации находится во уравнении $\varphi_B = 0$.

При этом частота генерации определяется только параметрами цепи ПОС:

$$\omega_{\text{ген}} = \omega_0 = \frac{1}{\sqrt{R_1 R_2 C_1 C_2}}.$$

Если же частота генерации будет попадать на "края" АЧХ усилителя, то необходимо учитывать дополнительный фазовый сдвиг, возникающий в усилителе. Уравнение фазового баланса в этом случае запись, опуская четное число n , как

$$\Delta\varphi_A + \Delta\varphi_B = 0. \quad (I.12)$$

Это приводит к тому, что в заданном генераторе для выполнения фазового баланса должен возникнуть в цепи обратной связи дополнительный фазовый сдвиг $\Delta\varphi_B$, равный по величине $\Delta\varphi_A$, но противоположный по знаку. При этом частота генерации ω_r будет отличаться от частоты ω_0 , определяемой параметрами цепи ПОС. Это приведет к тому, что градуировка частотной шкалы генератора не будет совпадать на различных поддиапазонах. Поэтому нужно определить условия, при выполнении которых частота генерации будет практически определяться величиной ω_0 . Из условия фазового баланса (I.12) следует, что $\Delta\varphi_A = -\Delta\varphi_B = S_{\varphi_B} \Delta\omega + S_{\varphi_B} (\omega_r - \omega_0)$, где $S_{\varphi_B} = \frac{\partial\varphi_B}{\partial\omega}$ – крутизна фазовой характеристики цепи обратной связи. Отсюда найдем

$$\omega_r = \omega_0 + \frac{\Delta\varphi_B}{S_{\varphi_B}}. \quad (I.13)$$

Это уравнение показывает, что частота генерации будет определяться частотой ω_0 тем точнее, чем выше крутизна фазовой характеристики цепи обратной связи и тем меньше величина дополнительного фазового сдвига в усилителе $\Delta\varphi_A$.

Найдем выражение для фазового сдвига φ_B цепи обратной связи для частного случая, когда $R_1 = R_2 = R$ и $m = 1$; $C_1 = C_2 = C$ и $n = 1$; $\omega_0 = \frac{1}{RC}$; $\alpha_0 = \frac{\pi}{3}$.

Используя (I.7), получим

$$\begin{aligned} j = \rho \cdot e^{j\varphi_p} \cdot \alpha - \gamma &= \frac{\alpha_0}{1 + j\alpha_0(\omega - \omega_0)} - \gamma = \frac{\alpha_0}{1 + j\alpha_0^2 \alpha^2} - \gamma = \\ &= \frac{\sqrt{[\alpha_0 - \gamma(1 + \alpha_0^2 \alpha^2)]^2 + \alpha_0^2 \alpha^2}}{1 + \alpha_0^2 \alpha^2} e^{-j\arctg \frac{\alpha_0^2 \alpha}{\alpha_0 - \gamma(1 + \alpha_0^2 \alpha^2)}} , \end{aligned}$$

где относительная расстройка частоты

$$\alpha = \frac{\omega_0^2 \omega^2}{\omega_0 \omega} = \frac{(\omega_0 - \omega_0)(\omega + \omega_0)}{\omega_0 \omega}. \quad (I.14)$$

Таким образом,

$$\psi_\beta = -\arctg \frac{\alpha_0^2 \alpha}{\alpha_0 - \gamma(1 + \alpha_0^2 \alpha^2)}. \quad (I.15)$$

На рис. I.7 изображены фазовые характеристики ψ_β (ФХ) при обратной связи вблизи частоты ω_0 при $\alpha_0 = 1/3$ и различных значениях γ . Эти графики показывают, что волнистая ФХ имеет линейную зависимость и что крутизна ФХ весьма существенно зависит от соотношения между α_0 и γ , т.е. от величины коэффициента подавления обратной связи β_0 (или от ее обратной величины K_0). При уменьшении величиной β_0 , т.е. при увеличении ООС, крутизна ФХ растет.

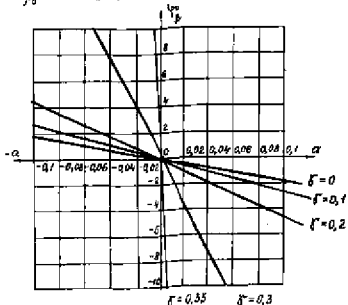


Рис. I.7

В области малых расстроек, когда $\alpha < 1$, а $\alpha_0^2 \alpha^2 \ll 1$, можно записать, что

$$\alpha = \frac{(\omega_r - \omega_0)(\omega_r + \omega_0)}{\omega_0 \omega_r} \approx \frac{\beta(\omega_r - \omega_0)}{\omega_0} \approx \frac{2\Delta\omega}{\omega_0},$$

и

$$\psi_\beta \approx -\frac{\alpha_0^2 \alpha}{\alpha_0 - \gamma} = -\frac{2\alpha_0^2(\omega_r - \omega_0)}{\beta_0 \omega_0}. \quad (I.16)$$

Отсюда найдем выражение для крутизны ФХ цепи обратной связи вблизи ω_0

$$\delta_{\psi_\beta} = \frac{\partial \psi_\beta}{\partial \omega_r} \Big|_{\omega_r = \omega_0} = -\frac{2\alpha_0^2}{\omega_0 \beta_0} = -\frac{2\alpha_0^2 K_0}{\omega_0}. \quad (I.17)$$

Теперь запишем выражение для частоты генерации

$$\omega_r = \omega_0 + \frac{\Delta\varphi_K}{S_{\psi_\beta}} - \omega_0 \frac{\omega_0 \Delta\varphi_K}{2\alpha_0^2 K_0} = \omega_0 \left(1 - \frac{\Delta\varphi_K}{2\alpha_0^2 K_0} \right) + \frac{1}{\sqrt{R_1 R_2 C_1 C_2}} \left(1 - \frac{\Delta\varphi_K}{2\alpha_0^2 K_0} \right). \quad (I.18)$$

Из (I.18) следует, что нестабильность частоты генерации ω_r , в первую очередь, определяется нестабильностью параметров цепи ПОС, т.е. изменением величин R_1 , R_2 , C_1 и C_2 при воздействии дестабилизирующих факторов, и, во вторую очередь (при достаточно глубокой ООС), – изменением параметров усилителя K_0 и $\Delta\varphi_K$ при изменении напряжения питания, температуры и других дестабилизирующих факторов. Справедливо, что величина, входящая в (I.18), при $\alpha_0 = 1/3$ и $K_0 = 300$:

$$-\frac{\Delta\varphi_K}{2\alpha_0^2 K_0} = -0,015 \Delta\varphi_K.$$

Поэтому величина поправки к частоте ω_0 за счет фазового сдвиги (а тем более его изменения) на краях АЧХ составляет весьма малую величину. Даже на границе полосы пропускания усилителя (а она занесена шире, чем полоса рабочих частот генератора), где $\Delta\varphi_K = \pm\pi/4$, эта величина поправки составляет лишь $\pm 0,012 = \pm 1,2\%$, а ее изменения под действием дестабилизирующих факторов будут еще меньше.

Проведенное рассмотрение показало, что в заданном RC-генераторе, где используется усилитель с большим коэффициентом усиления $K_0 \gg 1$, что потребовало введения глубокой ООС, частота генерации лежит на границах АЧХ усилителя с достаточной для практики точностью равна частоте ω_0 :

$$\omega_r \approx \omega_0 = \frac{1}{\sqrt{R_1 R_2 C_1 C_2}}.$$

Отсюда, применяя традиционный прием — логарифмировав, дифференцируя и переходя затем к конечным производным, получаем:

$$\delta \omega_r = \frac{\delta U_{\text{вых}}}{\omega_r} = -\frac{1}{2} \delta R_1 - \frac{1}{2} \delta R_2 - \frac{1}{2} \delta C_1 - \frac{1}{2} \delta C_2.$$

В общем случае частные составляющие погрешности носят случайный характер и относительная средняя квадратичная погрешность частоты генерации определяется следующей зависимостью:

$$\delta_{\omega_r} = \sqrt{\delta_{R_1}^2 + \delta_{R_2}^2 + \delta_{C_1}^2 + \delta_{C_2}^2}.$$

При выборе малоинстабильных резисторов и емкостей, обеспечивающих относительную среднеквадратичную погрешность порядка нескольких десятков долей процента, можно обеспечить нестабильность частоты ω_r , такого же порядка — десятка долей процента. При учете погрешности шкалы генератора по частоте из-за линейных ошибок в налесении рисок и из-за наличия низкочастотных лягутов в верхнейших механизмах общая погрешность установки частоты оказывается порядка одного процента, что вполне приемлемо для множества практических задач радиоэлектроники.

I.4. О стабильности выходного напряжения

Величина нестабильности выходного напряжения зависит от изменения коэффициента передачи α_o цепи ООС по полнополосому частотам и при переходе с одного полнополосного на другой, от изменения коэффициента усиления K_o при изменении питаний напряжений, от изменения окружающей температуры. Стабилизация выходного напряжения в RC -генераторе обеспечивается применением линейной ООС, осуществляемой с помощью терморезисторов — барреторов или термисторов. Так как необходимо обеспечить

$$\frac{\partial r}{\partial U_{\text{вых}}} = \frac{R_3 R_4}{(R_3 + R_4)} \left(\frac{1}{R_3} \cdot \frac{\partial R_4}{\partial U_{\text{вых}}} - \frac{1}{R_4} \cdot \frac{\partial R_3}{\partial U_{\text{вых}}} \right) > 0,$$

то термистор, обладающий отрицательным ТКС, нужно поставить на место резистора R_3 . При использовании барреторов, для которого ТКС положительна, его нужно ставить на место резистора R_4 . Все эти меры приводят к тому, что в заданном генераторе обеспечивается малая величина нестабильности выходного напряжения в диапазоне рабочих частот и во время работы.

Очевидно, что меры стабилизации выходного напряжения охватываются и выходной усилитель измерительного RC -генератора. В нем также применяется глубокая ООС в различных схемах термокомпенсации и стабилизации рабочего режима транзисторных каскадов усилителя.

Рассматривая зависимость изменения $U_{\text{вых}}$ в диапазоне частот, необходимо отметить, что в нижней части частотного диапазона температура постоянного терморезистора становится сравнимой с периодом колебаний. При этом цепь ООС реагирует не только на величину амплитуды сигнала, но и на микроволновые затухания генерируемого напряжения. При этом стабилизирующие свойства цепи ООС ухудшаются. На верхнем участке частотного диапазона начинают сказываться паразитные емкости монтажа, входа и выхода усилителя. Если перестройка частоты осуществляется проволочным потенциометром, то начинает сказываться индуктивность его рамоты. Это приводит к изменению величины α_o , что увеличивает нестабильность выходного напряжения.

В измерительных RC -генераторах величина нестабильности выходного напряжения во всем частотном диапазоне составляет 4...6%, а в измерительном генераторе типа Г3-107 [4], обладающем повышенной стабильностью выходного напряжения, она составляет лишь 0,4%, и такой измерительный генератор может быть использован в качестве источника калиброванного напряжения для градуировки и поверки электронных вольтметров, милливольтметров и других измерительных приборов.

На рис. I.8 показаны типовые зависимости $\delta_{U_{\text{вых}}}$ от частоты для измерительного генератора типа Г3-107 [4] с зашумленной допустимой областью параметра, пунктиром показаны действительные значения на одном из приборов.

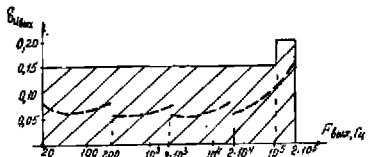


Рис. I.8

1.5. О нелинейных искажениях в RC-генераторе

RC-генераторы могут создавать гармонические сигналы с весьма малым уровнем нелинейных искажений – десятые и сотые доли процента.

Искажение сигнала происходит в основном в задающем генераторе, причем коэффициент нелинейных искажений изменяется по частотному диапазону. В нижней части частотного диапазона опять оказывается малая величина тепловой постоянной терморезистора по сравнению с периодом колебания. В некоторых типах RC-генераторов в области низких частот для повышения эффективного значения тепловой постоянной терморезистора применяют специальные схемы. Это приводит к уменьшению коэффициента нелинейных искажений на этом участке частотного диапазона, но заметно увеличивает длительность переходных процессов, возникающих при перестройке частоты внутри поддиапазона.

На верхнем участке частотного диапазона влияние распределенных емкостей схемы, вибрационности намотки проволочных потенциометров вызывает изменение величины α_0 и появление дополнительных фазовых сдвигов, что в итоге приводит к увеличению коэффициента нелинейных искажений.

Как уже отмечалось выше, выходной усилитель в RC-генераторе должен работать в сугубо линейном режиме, что обеспечивает весьма малый уровень нелинейных искажений.

На рис. 1.9 показана графическая зависимость коэффициента нелинейных искажений в диапазоне частот для измерительного генератора типа Г3-102 [4].

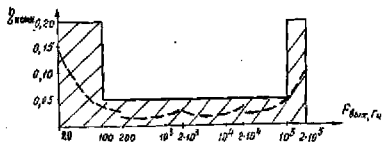


Рис. 1.9

1.6. Низкочастотный измерительный генератор Г3-102

Прибор дешевого типа обеспечивает получение электрических гармонических колебаний с калиброванными частотой в амплитудной и с повышенным качеством формой сигнала в звуковом и ультразвуковом диапазонах частот. Класс точности F_1/U_0 .

Основные технические характеристики:

диапазон частот	20 Гц...200 кГц
диапазон изменения выходного напряжения	80 мВ...8 В
на нагрузку	600 Ом
относительная погрешность установки опорного уровня	4%
погрешность установки частоты	
(20...20)...10 ³ Гц	0,01 $f_{\text{вых}}$ + 0,2 Гц
(20...200)...10 ³ Гц	0,015 $f_{\text{вых}}$

коэффициент нелинейных искажений:

(0,2...20)...10 ³ Гц	при $P_{\text{вых}} < 500 \text{ мВт}$	0,02%
(0,1...20)...10 ³ Гц	при $P_{\text{вых}} < 100 \text{ мВт}$	0,05%
(20...200)...10 ³ Гц	при $P_{\text{вых}} < 100 \text{ мВт}$	0,1%

питание от сети переменного тока частотой	50 ± 0,5 Гц,
напряжение	220 ± 22 В
потребляемая мощность	25 В·А

2. ИЗМЕРИТЕЛЬНЫЕ ГЕНЕРАТОРЫ LC-типа

В LC-генераторах генерируемая частота определяется с достаточною степенью точности (при доброкачественности $G \gg 1$) только параметрами колебательного контура L и C :

$$f_{\text{ген}} = \frac{1}{2\pi\sqrt{LC}},$$

где $f_{\text{ген}}$ – в герцах; L – в генри; C – в фардах.

LC-генераторы трудно выполнить сплавной перестройкой во всем диапазоне звуковых частот от $f_{\text{мин}} = 20 \text{ Гц}$ до $f_{\text{макс}} = 20 \text{ кГц}$, т.е. с перекрытием по частоте $N = \frac{f_{\text{макс}}}{f_{\text{мин}}} = 10^3$, так как для этого необходимо изменять параметры заданного генератора в N^2 раз, т.е. в 10^6 раз:

$$\frac{(LC)_{\text{макс}}}{(LC)_{\text{мин}}} = \left(\frac{f_{\text{макс}}}{f_{\text{мин}}}\right)^2 = N^2.$$

Такая конструкция *LC*-генератора с плавной перестройкой частоты получается очень громоздкой.

Но *LC*-генератором широко применяются в качестве измерительных генераторов низкой частоты, выполненных на одну или несколько фиксированных частот. Например, *LC*-генераторы на частоты 400 и 1000 Гц используются в качестве модуляторов для получения амплитудно-модулированного сигнала в высокочастотных измерительных генераторах (в генераторах типа Г4).

3. ИЗМЕРИТЕЛЬНЫЙ ГЕНЕРАТОР НИЗКОЙ ЧАСТОТЫ НА БИЕННИХ

3.1. Принцип работы измерительного генератора на биенних

Измерительный генератор низкой частоты на биенних включает в себя два генератора низкой частоты, один из которых работает на постоянной частоте f_0 , а другой вырабатывает напряжение переменной частоты f_1 , которая может изменяться в пределах от f_0 до F_{\max} , где F_{\max} – максимальное значение низкой частоты. Напряжение обоих генераторов подают в смеситель, за выходе которого возникает целый спектр частот, в том числе и разностная частота $F = f_0 - f_1$. Для выделения разностной частоты на выходе смесителя ставят фильтр нижних частот, с выхода которого напряжение поступает на вход усилителя низкой частоты, а затем через выходное устройство (оголосковое устройство и антеннатор) – на выход измерительного генератора.

При работе измерительного генератора в звуковом диапазоне F_{\max} составляет 20 кГц (иногда 40 кГц). Значения f_0 выбирают на порядок выше, чем F_{\max} – например, 200 кГц (для $F_{\max} = 40$ кГц f_0 составляет 400 кГц). В генераторе переменной частоты f_1 будет изменяться от 200 до 180 кГц (для $F_{\max} = 40$ кГц $f_1 = 400 \dots 360$ кГц) т.е. максимальное относительное изменение частоты составляет всего 10%. Такое незначительное изменение частоты перестраиваемого генератора достигается весьма небольшим изменением параметров заданного контура генератора. Так как обычно плавное изменение частоты генератора обеспечивается переменным конденсатором, то относительное изменение ѹюкости контура составляет $\delta_{\text{юк}} \approx 2\delta_{\max} = 20\%$. Такие относительные малые изменения ѹюкости контура легко обеспечиваются и не вызывают никаких технических затруднений, чего нельзя сказать о возможности перестройки частоты в *LC*- и *RC*-генераторах. На оси ротора этого переключенного конденсатора укреплена

шкала, программируемая в значениях низкой частоты от 0 до F_{\max} .

Незначительные изменения параметров контура генератора перестройки при перестройке приводят к тому, что эквивалентное сопротивление этого контура остается практически постоянным, и это обеспечивает постоянство напряжения частоты f_1 , во всем рабочем диапазоне частот. В свою очередь, это условие влияет на постоянство выходного напряжения измерительного генератора.

В заданный контур генератора постоянной частоты f_0 включен дроссель переменных конденсаторов небольшой ѹюкости.

Один из них используется для коррекции выходной частоты измерительного генератора при проверке правильности градуировки по частоте перед началом работы (подробнее об этом см. ниже). Ручка регулировки этого конденсатора выведена на переднюю панель прибора и снабжена надписью "Установка нуля".

Второй переменный конденсатор также позволяет в незначительных пределах изменять частоту f_0 относительно ее среднего значения. Обычно это изменение в одних измерительных генераторах лежит в пределах ± 100 Гц, а в других ± 60 Гц. Это абсолютное изменение частоты f_0 изменяет на такую же величину значение выходной частоты и позволяет к тому, что перестройкой данного конденсатора можно изменять выходную частоту на заранее заданную величину в любой точке диапазона. Ручка регулировки этого конденсатора выведена на переднюю панель прибора и снабжена надписью "Расстройка". На оси ротора конденсатора находится шкала, программируемая в пределах ± 100 Гц (вдруг ± 60 Гц).

При разработке и конструировании высокочастотных генераторов на биенних возникает целый ряд вопросов, на рассмотрении которых следует остановиться несколько подробнее.

3.2. О стабильности низкой частоты

Низкая частота является разностной частотой между двумя колебаниями высокой частоты, т.е.

$$F = f_0 - f_1. \quad (3.1)$$

Отсюда, нестабильность низкой частоты будет определяться нестабильностью частот генераторов высокой частоты

$$\delta_F = \frac{\delta f_0 - \delta f_1}{f_0 - f_1} = \frac{\delta_0 f_0 - \delta_1 f_1}{F}. \quad (3.2)$$

Из (3.2) видно, что на минимальной разностной частоте F_{\min} нестабильность δ_F получается максимальной, так как малые относительные изменения частот отдельных генераторов вызывают большое изменение разностной частоты.

Для повышения стабильности разностной частоты необходима низкая стабильность частоты отдельных генераторов f_g и f_i , при замененных температуры и колебаниях питающих напряжений. Для этого выбирают контуры с высокой линейностью и с высокой стабильностью, применяют слабую связь контура с генераторной лампой или коллекторной цепью транзистора. Крайне необходимо, чтобы электрическая, механическая и температурная нестабильность обоих генераторов была одинаковой.

Таким образом, в измерительном генераторе на базе двух измеряемых частот отдельных генераторов должны быть малыми и, что особенно важно, одинаковыми. Особенно важно предотвращение различного нагрева высокочастотных генераторов. Для этого сильно нагревающиеся блоки прибора следуют располагать дальше от задающих генераторов, например, используя этажерочную конструкцию; выходные каскады и выпрямительную часть прибора, наиболее сильно разогревающиеся, помещают в верхней части прибора, а задающие генераторы располагают внизу. Но, несмотря на принятые меры, абсолютные уходы частот генераторов в процессе работы оказываются несколько различными. Из-за этого высокочастотные генераторы расходятся относительно друг друга, что приводит к нарушению градуировки измерительного генератора по разностной частоте.

Проверку и восстановление градуировки производят при подготовке измерительного генератора к работе (после предварительного прогрева) и периодически в процессе работы с ним. Для этого главную шкалу и шкалу расстройки измерительного генератора устанавливают на пульте значения разностной частоты и производят уравнивание частот высокочастотных генераторов путем изменения емкости подстроекого конденсатора в контуре генератора с частотой f_g . Как отмечалось уже, ручка этого подстроекого конденсатора выведена на переднюю панель измерительного генератора и slabжена надписью "Установка пульта". Процесс уравнивания частот генераторов контролируют по биполяру, которая наблюдают на индикаторном приборевольтметра или на электронном индикаторе типа БЕП, включенным на выходе усилителя разностной частоты. По мере сближения частот генераторов частота биполяр уменьшается, что наблюдается по замедлению колебаний стрелки

вольтметра или затененного сектора в электронном индикаторе. Момент равенства частот характеризуется пульсами биполяр — стрелки вольтметра прекращает колебаться и затененный сектор электронного индикатора становится максимальным.

В некоторых измерительных генераторах на базе градуировку шкал можно проверять и в точке 50 Гц, сравнивая частоту выходного сигнала с частотой питающей сети. Методика проверки на частоте 50 Гц аналогична, но индикатором пульсаров биполяр служит электронный индикатор БЕП.

3.3. О форме колебаний разностной частоты

Получение хорошей формы колебаний разностной частоты в измерительном генераторе на базе двух генераторов представляет собой сложную задачу, так как форма колебаний звуковой частоты зависит от многих факторов. Кратко остановимся на основных из них:

1. Генераторы высокой частоты должны генерировать колебания с малым искажением синусоидальной формы. Разностная частота, попадающая в диапазон звуковых частот, на выходе смесителя может быть получена из следующей комбинации частот:

$$F' = n f_g - n f_i \quad (3.3)$$

Полезный сигнал разностной (звуковой) частоты образуется при $n = m = 1$: $F = f_g - f_i$. При наличии гармоник высокочастотных генераторов на выходе смесителя также может получиться сигнал разностной частоты, попадающий в диапазон звуковых частот:

$$F' = n(f_g - f_i) - n F \quad (3.4)$$

Эти разностные частоты искажают полезный сигнал и увеличивают коэффициенты искажения на выходе измерительного генератора. Для уменьшения таких искажений необходимо уменьшить амплитуды гармоник высокочастотных генераторов на выходе смесителя. Для этого между задающим генератором и смесителем ставят усилители с резонансной нагрузкой, обеспечивающей хорошую фильтрацию гармоник на выходе генератора.

2. Усилители высокой частоты должны работать в линейном режиме и не вносить дополнительных искажений.

3. На неких звуковых частотах за форму кривой сильное влияние оказывает связь между высокочастотными генераторами, выдавшими их взаимную синхронизацию.

4. В настоящее время в качестве нелинейных элементов в смесителях применяют полукровоподобные диоды. Особенность работы смесителя является то, что одно из напряжений, подводимых к смесителю, должно быть достаточно большим, - несколько вольт. При подаче такого напряжения иходы смесителя будут работать практически в ключевом режиме. При этом обеспечивается высокое значение крутизны преобразования и отсутствует ее зависимость от изменения амплитуды переключающего сигнала, так как не нарушается линейный рабочий диапазон работы диодов. Если в качестве такого сигнала использовать напряжение генератора переменной частоты, которое, несмотря на принятые меры, все же будет несколько изменяться по диапазону частот, то это изменение включено в рабочий режим работы смесительных диодов не будет оказывать влияния на величину крутизны преобразования, т.к. сдвиги, на величине низкочастотного сигнала на выходе измерительного генератора.

Напряжение генератора постоянной частоты, подводимое к смесителю, весьма мало и составляет десяти доли вольта.

Такой режим работы смесителя позволяет получить так называемое "линейное" преобразование, при котором напряжение комбинационных частот (разностной и суммарной) на выходе смесителя будет прямо пропорционально малому сигналу высокой частоты и в измерительных пределах не будет зависеть от изменения амплитуды большого сигнала.

Применение различных схем смесителей позволяет подавить на выходе смесителя различные комбинационные составляющие, которые могут иметь значительную амплитуду и от которых в дальнейшем нужно будет избавляться.

Например, применение балансовых смесителей, где одно напряжение на смеситель подается синфазно, а другое - противофазно, позволяет исключить на выходе смесителя все нечетные гармонические составляющие частоты того генератора, напряжение которого подается синфазно. Очевидно, что несбалансированный смеситель синфазно подается напряжение большого сигнала. При использовании колышевого смесителя на его выходе отсутствуют нечетные гармонические составляющие (в том числе и основные частоты) обоих высокочастотных генераторов. Практически на выходе колышевого смесителя будут отсутствовать либо разностная и суммарная комбинационные составляющие. Как правило, выход смесителя делается симметричным.

5. После смесителя, на выходе которого присутствуют различные комбинационные составляющие, в том числе и высокочастотные, обязательно должен стоять фильтр низких частот, пропускающий только разностные частоты звукового диапазона. Подавление в смесителе и в фильтре низких частот высокочастотных составляющих необходимо потому, что они, попадая на вход усилителя низкой частоты и имея значительную величину, будут перегружать вход усилителя и переворачивать его в режим лампового усиления. В таком режиме на выходе усилителя будут возникать комбинации частот, в том числе и низкочастотные, которые будут проявляться в виде "смистов" на выходе измерительных генераторов. Частота такого "смиста" меняется очень быстро или при незначительной перестройке одного из генераторов, так как в образовании такой частоты участвуют гармоники высоких номеров (например, 10-я гармоника основной частоты и 11-я гармоника переменной частоты). Фильтр низких частот представляет собой симметричный двухзвенный фильтр, образованный индуктивностью и ѹ-коэффициентом. Это позволяет получать другой спад амплитудно-частотной характеристики. Фильтр гигантски экранируется.

6. Учитывая низкую частоту, стоящую за выходе фильтра низких частот, собран по двухтактной схеме и охватывается глубокой отрицательной обратной связью. Это позволяет уменьшить величину нелинейных искажений, создаваемых самим усилителем. Все эти меры, предпринятые для получения хорошей формы выходного напряжения измерительного генератора, позволяют снизить коэффициент нелинейных искажений в середине рабочего диапазона лишь до 0,5...1%, а на краях диапазона эта величина возрастает.

3.4. О стабильности выходного напряжения

Так как выходное напряжение зависит от многих факторов (нагрева высокочастотных генераторов, коэффициентов усиления буферных усилителей, крутизны преобразования смесителя, коэффициента усиления усилителя низкой частоты, питающих напряжений и т.д.), которые во время работы или при разгрузке линии частоты могут меняться, то в измерительном генераторе принимаются меры по повышению стабильности работы отдельных его узлов. Например, высокочастотные генераторы и буферные каскады усилителя изготавливаются от стабилизированных источников питания; АЧХ буферных каскадов во всем диапазоне рабочих частот обеспечивается равномерной и должна иметь постоянный коэффициент передачи; модули колышевого смесителя работают в класс-

вом режиме; усилитель низкой частоты оканчивается генератором обратной связи и т.д.

Все эти меры приводят к увеличению стабильности выходного напряжения измерительного генератора во всем диапазоне линейных частот. Если же эти меры недостаточны, то в измерительный генератор вводится автоматическая регулировка выходного напряжения, аналогичная схемам автоматической регулировки усиления (АРУ) в радиоприемных устройствах.

В итоге рассмотренных низкочастотных генераторов на биенках можно отметить, что они обладают следующими преимуществами по сравнению с другими типами низкочастотных генераторов: легкостью перекрытия всего диапазона звуковых частот, возможность "глажкой"стройки в любой точке рабочего диапазона, постоянством выходного напряжения при изменении частоты сигнала. Высокие значения других параметров - хорошая форма выходного напряжения, стабильность частоты - достигаются значительным усложнением схемы, в чем генератор за биенки значительно уступает АС-генераторам.

3.5. Низкочастотный генератор типа ГЗ-18

В качестве примера измерительного генератора на биенках можно привести генератор типа ГЗ-18 (рис. 3.1).

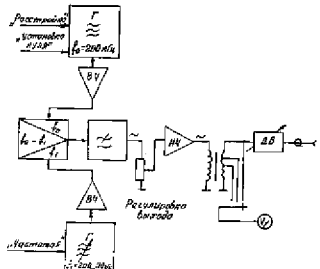


Рис. 3.1

Кратко остановимся на технических данных этого прибора:

I. Диапазон рабочих частот заключен от 20 Гц до 20 кГц, этот диапазон перекрывается одинаковым коэффициентом переменной емкости, имеющим шкалу, проградуированную непосредственно по частоте. Характер шкалы: линейный от 20 до 100 Гц и логарифмический от 100 Гц до 20 кГц. В приборе имеется добавочный переменный колодезатель, называемый "Расстроика", позволяющий производить дополнительное изменение частоты в пределах ± 50 Гц в любой точке диапазона. Погрешность градуировки шкалы ∓ 2 Гц.

2. Уход частоты составляет (после 20-минутного прогрева) не более 5 Гц за первый час работы и 2 Гц в течение каждого следующего часа.

3. Номинальная выходная мощность, отдаваемая генератором, равна 1 Вт, максимальная мощность - не менее 2 Вт.

4. Коэффициент плавленых искажений составляет (при выходной мощности 1,0 Вт) около 0,6...1% (при различных частотах).

5. Выходное напряжение может регулироваться плавко и ступенями от максимальной величины 30 В до нескольких милливольт.

4. ИНФРАИЗОЧАСТОТНЫЕ ИЗМЕРИТЕЛЬНЫЕ ГЕНЕРАТОРЫ

Инфраизоночстотные измерительные генераторы служат для создания гармонических электрических колебаний с частотой ниже звукового диапазона, т.е. ниже 20 Гц. Самая низкая частота, создаваемая в таких генераторах, составляет 0,001...0,01 Гц, а верхний захватывает звуковой, а иногда и ультразвуковой диапазон частот.

Инфраизоночстотные измерительные генераторы используются для исследования, настройки и регулировки различной аппаратуры, работающей в этом диапазоне частот, например аналоговых вычислительных устройств, систем автоматического регулирования, медицинской аппаратуры для анализа частоты дыхания и пульса, геофизической аппаратуры для регистрации инфраизоночстотных колебаний, распространяющихся в водной среде, и др.

Измерительные генераторы инфраизоночстотного диапазона состоят по схеме прямого генерирования выходной частоты, изображенной на рис. 1.1.

Базовый генератор, как правило, представляет собой схему одноконтурной колодезатель гармонического процесса без затухания, синхронного линейным дифференциальным управлением второго порядка:

$$\frac{d^2x}{dt^2} + \omega_0^2 x = 0, \quad (4.1)$$

где ω_0 – частота собственных колебаний системы.

Как известно [1], решением данного дифференциального уравнения является уравнение гармонических колебаний с частотой ω_0 и постоянной амплитудой, определяемой начальными условиями.

$$x = A \sin(\omega_0 t + \psi), \quad (4.2)$$

Для решения дифференциального уравнения (4.1) электронная модель должна представлять собой линейный интегратор второго порядка для соединения двух интеграторов первого порядка, что удобнее в практической реализации.

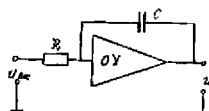


FIG. 4.I

График интегратора представлен на рис. 4.1.

В такой схеме напряжения $U_{\text{вых}}$ и $U'_{\text{вых}}$ связаны следующей зависимостью (при $K \gg T$) [2]:

$$\frac{du_{\text{out}}}{dt} = -\frac{1}{R_2} u_M, \quad (4.3)$$

Дифференциальное уравнение второго порядка (4.1) представим в виде системы двух дифференциальных уравнений первого порядка

$$\left. \begin{aligned} \frac{dx}{dt} &= -\xi_1 y; \\ \frac{dy}{dt} &= -(\xi_2 x). \end{aligned} \right\} \quad (4.4)$$

Из (4.4) следует, что электронная модель гармонического процесса должна содержать не только два интегратора, но и один инвертор, обладающий коэффициентом передачи -1 . В первом интеграторе звено выходной величины равно u , выходной x , коэффициент передачи -1 ; во втором интеграторе звено на выходе получает величину $-x$, ее выход q , коэффициент передачи этого звена $\xi = \omega^2/k$.

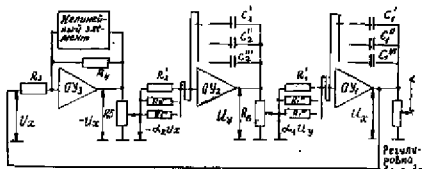
Схема инвертирующего каскада также выполняется на ОУ, как и интегратор, но в цепь обратной связи включена резистор (рис. 4.2). Для такой схемы (при $K \gg 1$) [2]

$$u_{B_{BX}} = -\frac{R_f}{R} u_{BX}, \quad (4.5)$$

FIG. 4-2

$$\text{imp. } R = R_1 \quad u_{\infty} = -u_{\text{ext}},$$

Схема электрической модели для решения системы дифференциальных уравнений (4.4) приведена на рис. 4.3.



Page 43

Как видно из схемы, на вход первого интегратора, расположенного справа, подается лишь часть напряжения u_2 . Коэффициент α_1 , показывает, какая часть этого напряжения снимается с потенциометра P_6 . Аналогично на второй интегратор с потенциометром P_5 снимается лишь часть напряжения $-u_2$, что характеризуется коэффициентом α_2 . Таким образом, для первого интегратора дифференциальное уравнение записано в виде

$$\frac{du_x}{dt} = -\frac{\alpha_1}{E_i C_i} u_y; \quad (4.6)$$

анализа не входит в задачи

$$\frac{dU_y}{dt} = \frac{\alpha_e}{E_f} u_x . \quad (4.7)$$

Подставив (4.6) в (4.7), получим следующее дифференциальное уравнение второго порядка для выходного напряжения рассматриваемой электронной модели:

$$\frac{d^2 u_x}{dt^2} + \frac{\alpha_1 \alpha_2}{R_1 R_2 C_1 C_2} u_x = 0. \quad (4.8)$$

Как отмечалось выше, решением этого дифференциального уравнения является уравнение гармонического колебания с частотой ω_0 :

$$u_x = U_m \sin(\omega_0 t + \varphi),$$

где

$$\omega_0 = \sqrt{\frac{\alpha_1 \alpha_2}{R_1 R_2 C_1 C_2}}. \quad (4.9)$$

Из (4.9) следует, что частота гармонических колебаний определяется как параметрами интеграторов, т.е. их постоянными времени $R_1 C_1$ и $R_2 C_2$, так и положением движков потенциометров R_6 и R_5 , т.е. коэффициентами α_1 и α_2 . Обычно выполняются условия

$$\alpha_1 = \alpha_2 = \alpha; \quad R_1 = R_2 = R; \quad C_1 = C_2 = C, \text{ при этом}$$

$$\omega_0 = \frac{\alpha}{RC}. \quad (4.10)$$

Это условие показывает, что плавную регулировку следует обеспечивать изменением величины α . В этом случае получается линейная шкала по частоте при применении потенциометров R_6 и R_5 с линейным выходом сопротивления. Но слишком малые величины α нельзя использовать, так как при этом величина сигнала, снимаемого с потенциометров R_5 и R_6 , становится сравнимой с шумами усилителя и нарушается стабильность и форма генерируемых колебаний. Обычно в измерительных генераторах пологими краями перекрытия выбирается рабочий диапазон.

Ступенчатое изменение частоты при переходе с одного поддиапазона на другой достигается переключением величин конденсаторов C и разомкнут R в цепях интеграторов.

Электронная модель, изображенная на рис. 4.3, образована линейными каскадами и элементами. Поэтому в принципе в этой схеме генерируются гармонические колебания с медленно нарастающей амплитудой, так как в любом автогенераторе колебания начальную с бесконечно малыми величинами. Для ограничения амплитуды колебаний и обеспечения стабильной амплитуды в цепь обратной связи инвертирующего каскада вводится нелинейный элемент — двухсторонний диодный ограничитель, включенный параллельно R_4 . При увеличении амплитуды колебаний схема управляется начальную открытие диода ограничителя, при этом уменьшается общее сопротивление обратной связи инвертора и его коэффициент передачи, поэтому вершины синусоид передаются с меньшим коэффициентом передачи. Рост амплитуды колебаний прекращается, и в автогенераторе устанавливается постоянная амплитуда генерации.

Возникновение на выходе инвертирующего каскада, где происходит ограничение, нелинейные акустации неизбежны. Видимо этот искажаемый сигнал, проходя через два интегратора, улучшает свою форму. Это обозначается следующим образом. Допустим, что на выходе интегратора действует ряд гармонических составляющих в

$$u_x = \sum_{n=1}^{\infty} U_{mn} \sin(\pi \omega_0 t + \varphi_n).$$

Напряжение на выходе интегратора

$$u_{\text{вых}} = -\frac{1}{RC} \int u_x dt = -\frac{1}{\pi \omega_0 RC} \sum_{n=1}^{\infty} U_{mn} \cos(\pi \omega_0 t + \varphi_n).$$

будет представлять тот же ряд гармонических составляющих, но их амплитуды будут уменьшены по сравнению с амплитудой основного колебания в n раз, где n — номер гармоники. При двухстороннем ограничении возникают только нечетные гармоники, поэтому вдвое большие искажения формы определяются третьей гармоникой, которая, пройдя через два интегратора, будет уменьшена в 9 раз. Поэтому в таких генераторах легко обеспечивается коэффициент гармоник выходного напряжения не более 0,5...1,5%. Следует отметить, что при прохождении гармонического сигнала через интегратор, наподобиям на ОУ, происходит уменьшение фазы этого колебания на $\pi/2$. Таким образом, в схеме автогенератора модель уже существует три напряжения генератора $u_x = u_y = U_m \sin(\omega_0 t + \varphi)$, то напряжение на выходе этого интегратора $u_z = u_y = U_m \sin(\omega_0 t + \varphi - \frac{\pi}{2})$,

а напряжение на выходе инвертирующего каскада $u_x = -u_z = -U_m \sin(\omega_0 t + \varphi - \pi)$.

Если напряжение u_y с выхода второго интегратора подать за дополнительный инвертирующий каскад, то на выходе его получим напряжение u_4 , сдвигнутое относительно выходного на $\pi/2$:

$$u_4 = -u_z = U_m \sin(\omega_0 t + \varphi - \frac{\pi}{2}).$$

Эти четыре напряжения находятся в измерительном генераторе на дополнительные выходы и могут быть использованы для получения четырехфазного напряжения при проведении ряда измерений.

Кроме заданного генератора, в измерительный измерительный генератор входит: выходной усилитель для получения необходимой выходной мощности, аттенюатор с ослаблением до 110 дБ и электровакуумный вольтметр для контроля выходного напряжения. Выходное сопротивление измерительного генератора постоянно и равно 600 Ом.

Технические данные измерительного генератора стационарной формы Г6-26, заменяющего собой измерительный генератор Г3-39, в режиме гармонического сигнала:

диапазон частот	$f = 0.001\ldots 10000$ Гц
основная погрешность установки частоты	$\delta_f = 2\%$
пределы выходного напряжения	$U_{\text{вых}} = 10^{-3}\ldots 1$ В
фазы выходного сигнала	0, 90°, 180° и 270°
погрешность установки спорного уровня (на входе аттенюатора)	$\pm (2.5\ldots 3)\%$
уровень гармоник в выходном сигнале	0.5%

ЛИТЕРАТУРА

- Годаровский И.С. Радиотехнические цепи и сигналы. - М.: Советское радио, 1971.
- Мирский Г.Я. Радиодиэлектрические измерения. - М.: Энергия, 1975.
- Куинн Ф.В., Савенок В.Г. Электрорадиометрия. - М.: Энергия, 1975.
- Насоков В.С. Справочник по радиоизмерительным приборам. Т. 2. - М.: Советское радио, 1977.
- Сахаров З.О. Теория и расчет измерительных RC-систем. - М.: Госэнергомиздат, 1954.

СОДЕРЖАНИЕ

Введение	3
1. Измерительные RC-генераторы	5
1.1. Заданный RC-генератор	6
1.2. О регулировке частоты генератора	II
1.3. О стабильности частоты генератора	15
1.4. О стабильности выходного напряжения	18
1.5. О полиномных исследованиях в RC-генераторе	20
1.6. Низкочастотный измерительный генератор Г3-102	21
2. Измерительные генераторы LC-типа	21
3. Измерительный генератор низкой частоты на биполярных транзисторах	22
3.2. О стабильности низкой частоты	23
3.3. О форме колебаний низкой частоты	25
3.4. О стабильности выходного напряжения	27
3.5. Низкочастотный измерительный генератор Г3-18	28
4. Инфракрасочастотные измерительные генераторы	28
Литература	31

Николай Алексеевич Галкин

НИЗКОЧАСТОТНЫЕ ГЕНЕРАТОРЫ

Редактор А.И. Коршунова

Техн. редактор Н.П. Верановская

Л - 86671 от 21.10.81

Формат 60x80 1/16. Бумага типограф. № 2.

Неч. л. 2,25; уч.-науч. л. 2,0. Тираж 500

Зак. 494/241. Цена 15 коп.

Редактор Л.И.

Издательство ИМК

Изд-во ИМК, Москва, Волоколамское шоссе, 4